

# Lab2 实验报告

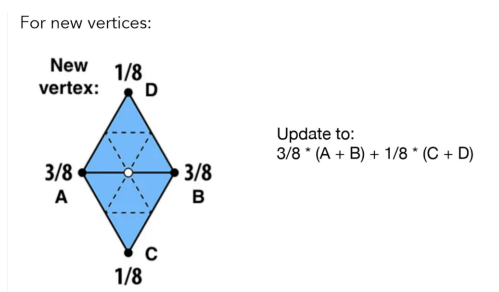
2100012983 刘逸兴

2022 年 12 月 4 日

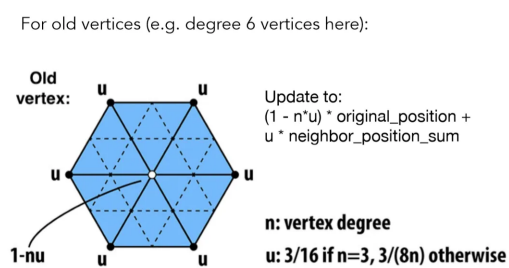
## 1 Loop Mesh Subdivision

算法大致流程:

1. 遍历每条边，在每条边上添加新顶点。如果边是边界，则新顶点坐标为两端点坐标平均值。否则如图设置坐标。
2. 对于每个旧顶点，如图设置坐标。
3. 按照顺序更新 Indices 数组, 维护 Mesh 结构。
4. 重复上述步骤直到达到迭代次数



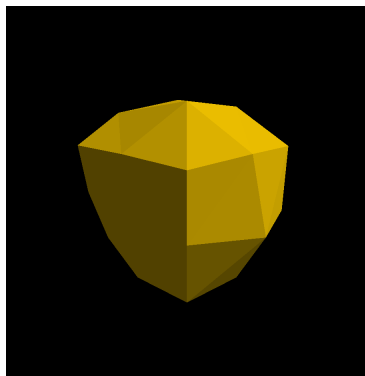
(a) new vertices



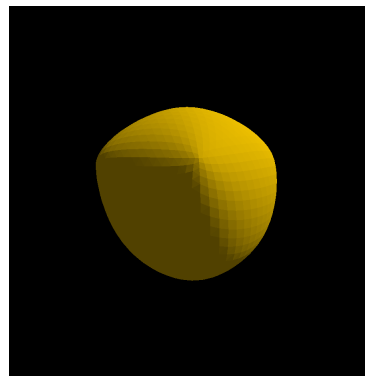
(b) old vertices

图 1: Loop Subdivision

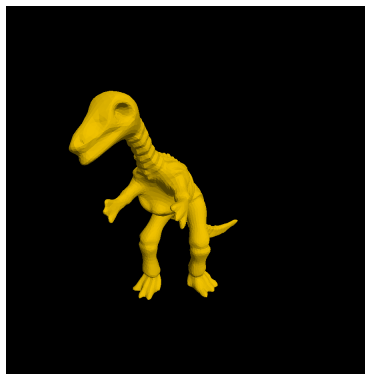
得到结果如图:



(a) cube, numIteration = 0



(b) cube, numIteration = 3



(c) dinosaur, numIteration = 0



(d) dinosaur, numIteration = 3

图 2: Mesh Subdivision

## 2 Spring-Mass Mesh Parameterization

算法大致流程:

1. 初始化边界点上的  $uv$  坐标, 这里我用的是圆边界。对于边界点  $p(x, y, z)$ , 初始化坐标为  $u = \frac{1}{2} + \frac{x}{2\sqrt{x^2+y^2}}, v = \frac{1}{2} + \frac{y}{2\sqrt{x^2+y^2}}$
2. 新建数组, 存储所有的内部点。
3. 按照论文中的方法设置  $\vec{b}, b_i = (\sum_j \text{与 } i \text{ 相连且 } j \text{ 是边界点 } \lambda_{ij} u_j, \sum_j \text{与 } i \text{ 相连且 } j \text{ 是边界点 } \lambda_{ij} v_j)$
4. 迭代初值均设为  $(0, 0)$
5. 利用 Jacobi 迭代求解, 其中系数矩阵同样按照论文中的方法设置。

为了方便起见, 设  $\lambda_{ij}$  为  $i$  的邻居点的个数的倒数。  
得到结果如图:

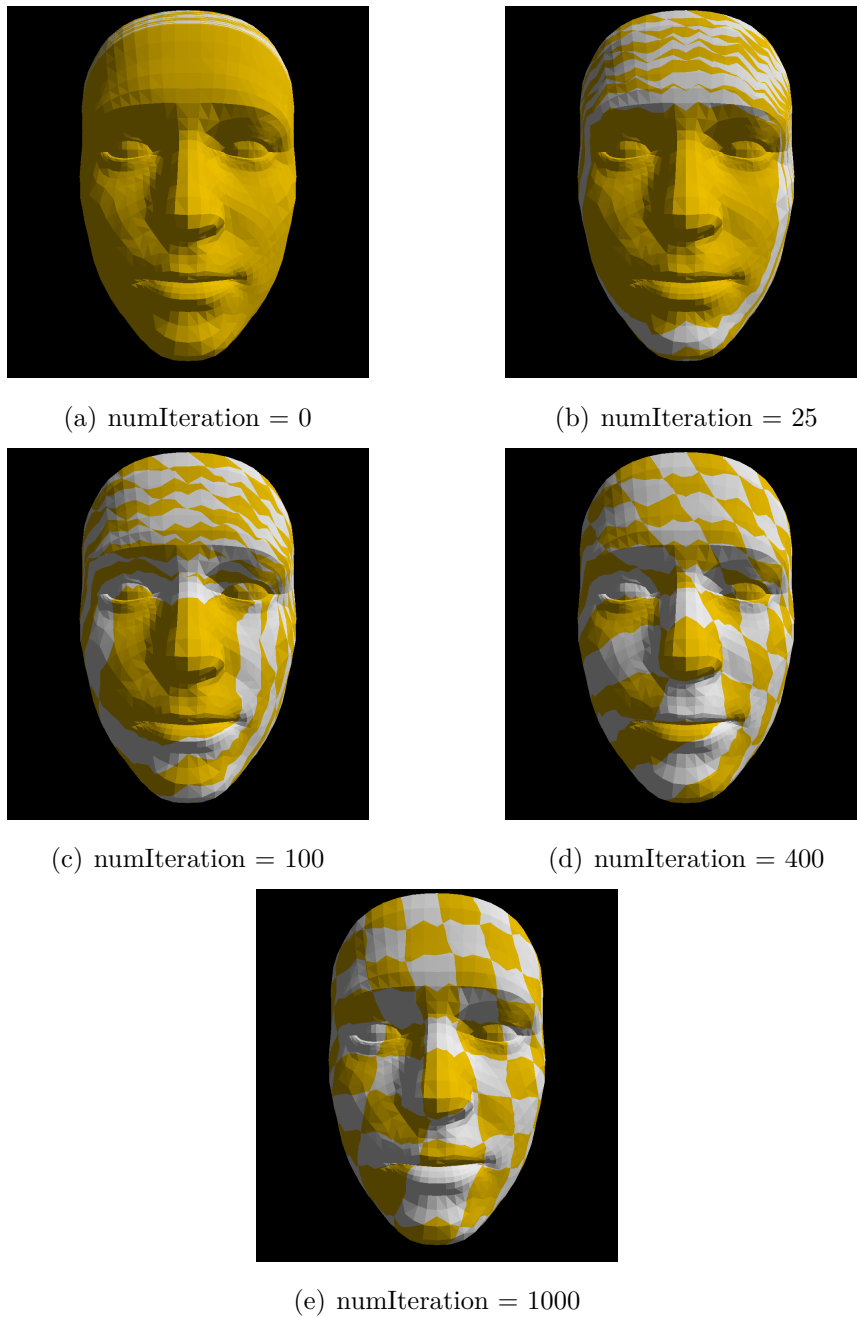


图 3: Mesh Parameterization

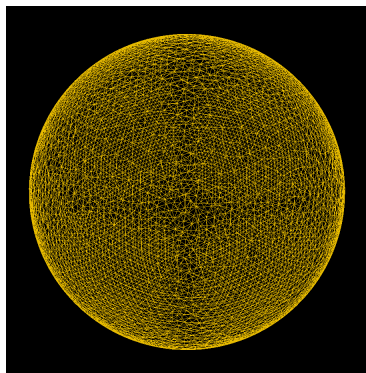
### 3 Mesh Simplification

算法大致流程:

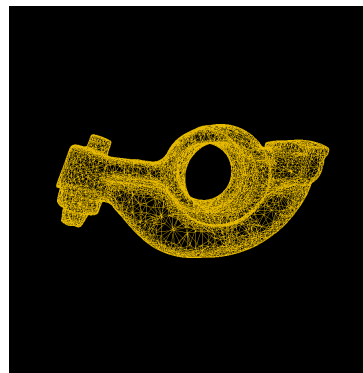
1. 对于每个顶点, 按照论文中的方法计算其  $Q$  矩阵  $Q_i = \sum_{p \in \text{planes}(v_i)} (\mathbf{p}^T \mathbf{v})^2$
2. 选取所有合法点对: 相邻顶点或者距离小于阈值的点对
3. 按照论文中的方法计算每对点对的最佳替代点  $\bar{v}$ , 以及损失  $\text{cost} = \bar{v}^T (Q_1 + Q_2) \bar{v}$
4. 选择  $\text{cost}$  值最小的点对进行替换, 同时更新 output 中的各个数组以及存储  $Q$  矩阵和最佳点对的数组。

5. 不断重复第四步，直到满足迭代终止条件。

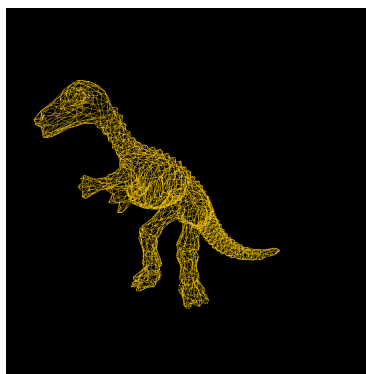
由于没有使用堆结构来维护所有合法点对中  $cost$  最小的点对，因此该算法时间复杂度较大，同时在第四步更新各个数组的过程中，也没有采取特殊的数据结构，因而常数也较大。因此对于简化比例较小的情况，只挑选了节点数较小的恐龙图来展示最终的结果。当然，由于恐龙图的拓扑结构较为复杂，这一结果也具有较大的意义。



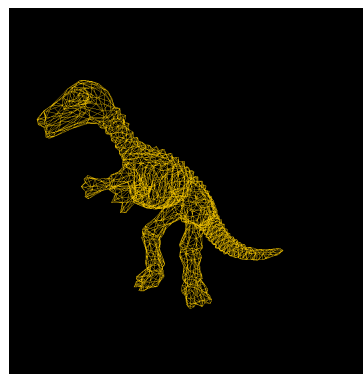
(a) sphere, simplification ratio = 0.8



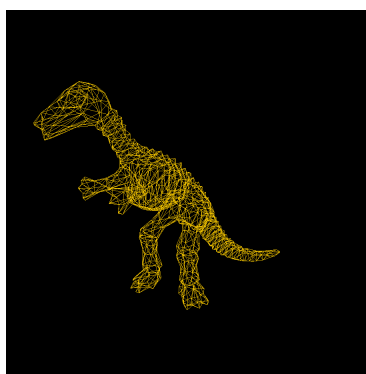
(b) rocker, simplification ratio = 0.8



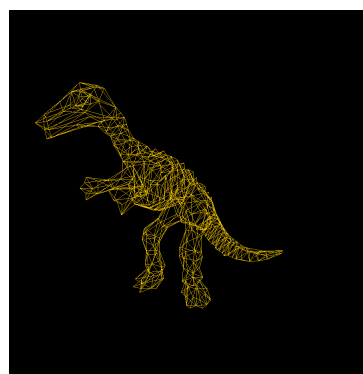
(c) dinosaur, simplification ratio = 0.8



(d) dinosaur, simplification ratio = 0.6



(e) dinosaur, simplification ratio = 0.4



(f) dinosaur, simplification ratio = 0.2

图 4: Mesh Simplification

## 4 Mesh Smoothing

算法大致流程:

1. 对于每个顶点，计算邻居位置的加权平均

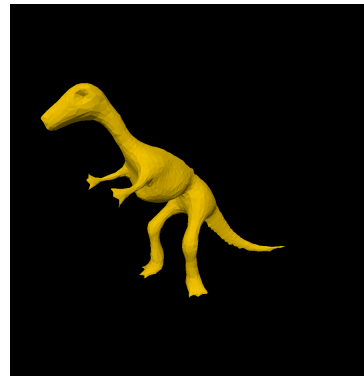
$$v_i^* = \frac{\sum_{j \in N(i)} w_{ij} v_j}{\sum_{j \in N(i)} w_{ij}}$$

2. 其中使用 Uniform Laplacian 时  $w_{ij} = 1$  ; 使用 Cotangent Laplacian 时  $w_{ij} = \cot \alpha_{ij} + \cot \beta_{ij}$ . 在计算  $\cot \alpha_{ij}$  和  $\cot \beta_{ij}$  时，先计算出两个角的余弦值。而经过尝试，直接用两个向量的点乘直接代替余弦值效果更好。
3. 更新顶点:  $v_i = (1 - \lambda)v_i + \lambda v_i^*$
4. 重复上述步骤直到达到迭代次数

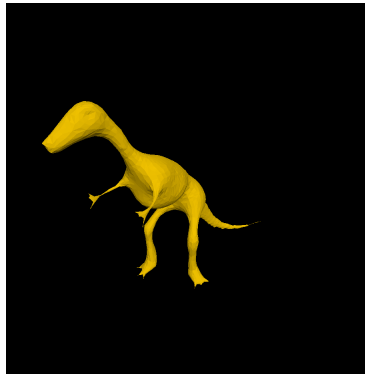
得到结果如图:



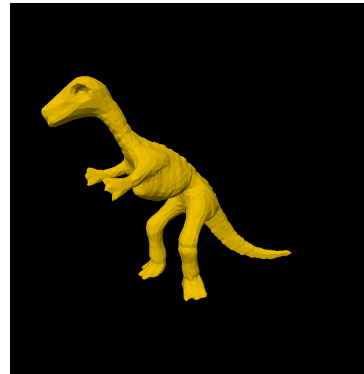
(a) Cotangent, numIteration=1,  $\lambda=0.7$



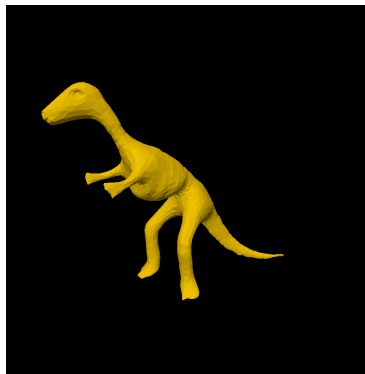
(b) Cotangent, numIteration=5,  $\lambda=0.7$



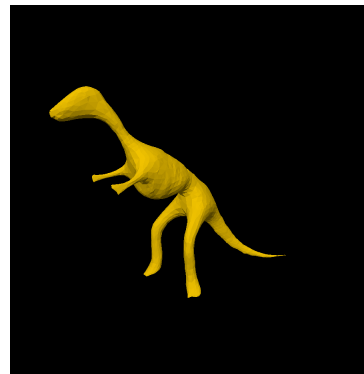
(c) Cotangent, numIteration=10,  $\lambda=0.7$



(d) Uniform, numIteration=1,  $\lambda=0.7$



(e) Uniform, numIteration=5,  $\lambda=0.7$



(f) Uniform, numIteration=10,  $\lambda=0.7$

图 5: Mesh Smoothing

可以看到使用 Cotangent Laplacian 得到的结果相比与使用 Uniform Laplacian 得到的结果更加尖锐，在爪子、脚趾处结构保留更好，但是手臂、腿明显更为退化。

## 5 Marching Cubes

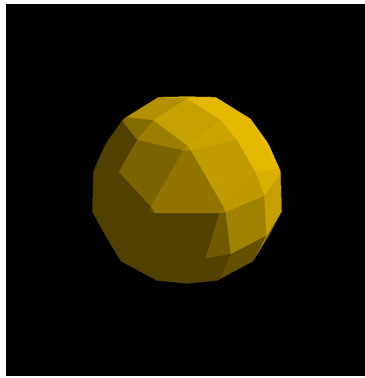
算法大致流程:

依次对每一个小立方体执行以下步骤:

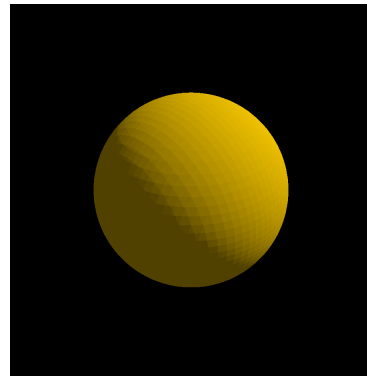
1. 计算该立方体的 *index*: 如果编号为  $i$  的顶点到隐式表面的有向距离小于等于 0, 则 *index* 的第  $i$  位为 1, 否则为 0.

2. 如果  $index = 0 \text{ or } 255$ , 说明这个立方体与隐式表面没有交点, 前进到下一个立方体。
3. 否则找到  $c_{EdgeOrdsTable}[Index]$  数组, 里面的数字按顺序每三个一组, 为隐式表面与立方体相交得到的三角形顶点所在的边, 按照线性插值公式  $P = P_0 + \frac{-sdf(P_0)}{sdf(P_1) - sdf(P_0)} \times (P_1 - P_0)$  得到该顶点的位置。
4. 若该点不在 Positions 数组中, 则插入. 更新 Indices 数组, 并前进到下一个立方体。

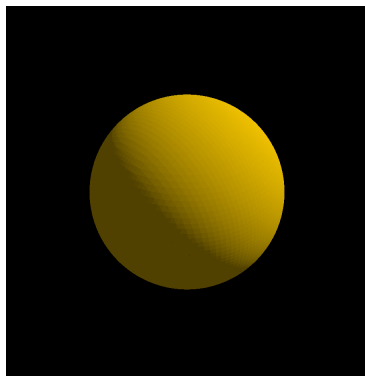
得到结果如图:



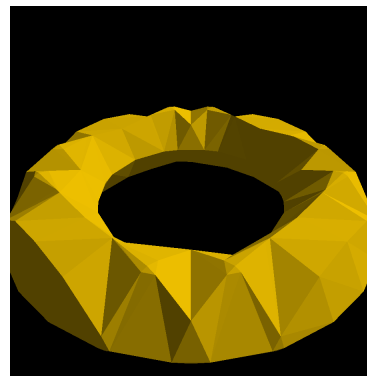
(a) sphere,  $n = 10$



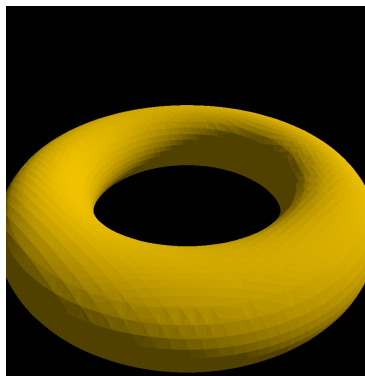
(b) sphere,  $n = 60$



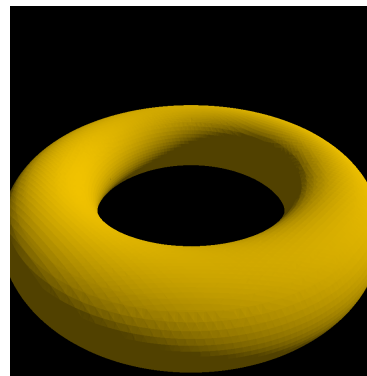
(c) sphere,  $n = 100$



(d) torus,  $n = 10$



(e) torus,  $n = 60$



(f) torus,  $n = 100$

图 6: Marching Cubes